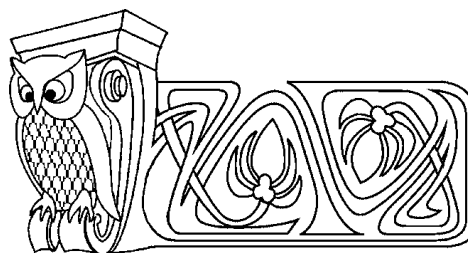




УДК 539.374

## НАПРЯЖЕННОЕ СОСТОЯНИЕ ТОЛСТОСТЕННЫХ ЦИЛИНДРИЧЕСКИХ ТРУБ С УЧЕТОМ СИЛЫ ТЯЖЕСТИ ДЛЯ МАТЕРИАЛОВ СО СЛОЖНОЙ РЕОЛОГИЕЙ



А. Н. Спорыхин, Д. В. Гоцев<sup>1</sup>, Л. Г. Плотников

Воронежский государственный университет,  
кафедра теоретической и прикладной механики;

<sup>1</sup>Военный авиационный инженерный университет, Воронеж,  
кафедра математики

E-mail: pmmdeans@main.vsu.ru, rbgotsev@mail.ru,  
lavra\_net@mail.ru

В рамках метода малого параметра исследуется поле напряжений весомой цилиндрической трубы при моделировании материала несжимаемой упруговязкопластической средой. Дается оценка влияния на величину пластической зоны физико-механических параметров конструкции.

**Ключевые слова:** плоская деформация, тензор напряжений, упругость, пластичность, упругопластическая граница, упруговязкопластичность.

**Stress of Heavy-Wall Tubing Cylindrical Pipes Taking into Account the Gravity for Materials with Difficult Rheology**

**A. N. Sporykhin, D. V. Gotsev<sup>1</sup>, L. G. Plotnikov**

Voronezh State University,

Chair of Applied Mathematics, Computer Sciences and Mechanics;

<sup>1</sup>Military aviation engineering university, Voronezh,  
Chair of Mathematics

E-mail: pmmdeans@main.vsu.ru, rbgotsev@mail.ru,  
lavra\_net@mail.ru

Within a method of small parametre the field of stresses of heavy tubing cylindrical pipes is investigated at modelling of a material by the incompressible elastic-is viscous-plastic environment. The estimation of influence on size of a plastic zone physicommechanical design parametres is given.

**Key words:** plane deformation, tensor of deformation, elasticity, plasticity, elastoplastic line, elastic-is viscous-plasticity.

Известно, что одним из основных факторов, влияющих на распределение поля напряжений в толстостенных конструкциях, является их собственный вес. Поэтому учет силы тяжести при расчете напряженно-деформированного состояния толстостенных сооружений является актуальной задачей. Анализ влияния собственного веса в первом приближении на напряженное состояние толстостенных цилиндрических труб для материалов, обладающих упругопластическими свойствами приведен в работе [1]. В настоящей работе ищется напряженное состояние цилиндрической трубы, находящейся под действием собственного веса при моделировании материала трубы несжимаемой упруговязкопластической средой [2].

В этом случае функция нагружения имеет вид

$$F = \left( S_i^j - c_i^{jp} - \eta \dot{\epsilon}_i^{jp} \right) \left( S_j^i - c_j^{ip} - \eta \dot{\epsilon}_j^{ip} \right) \quad (1)$$

где  $c$  — коэффициент упрочнения;  $k$  — предел текучести,  $\eta$  — коэффициент вязкости;  $S_i^j = \sigma_i^j - \sigma \delta_i^j$  — девиатор тензора напряжений;  $\sigma = \sigma_k^k/3$ ;  $\delta_i^j$  — символ Кронекера;  $\epsilon_i^j$  — компоненты тензора деформаций;  $\dot{\epsilon}_i^j$  — компоненты тензора скоростей деформаций. Индексы  $i, j$  принимают значения от 1 до 3, верхние индексы  $p$  или  $e$  обозначают величины, относящиеся к пластической или упругой областям соответственно.

Рассмотрим толстостенную трубу с внутренним радиусом  $a$  и внешним —  $b$  (рис. 1). На внутреннем контуре трубы приложена равномерно распределенная нагрузка интенсивностью  $P_0$ , моделирующая собой давление жидкости или газа, на внешнем контуре — нагрузка интенсивностью  $P$ .

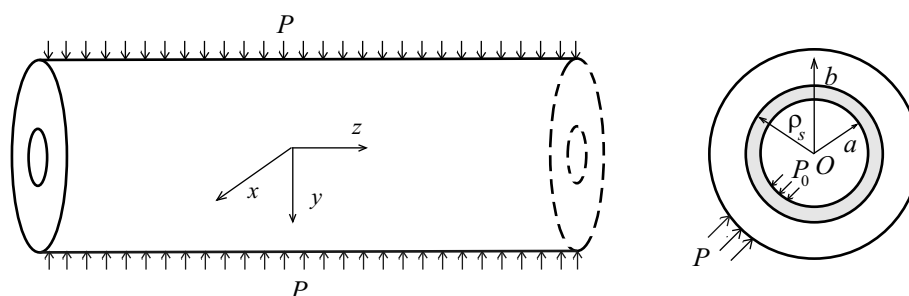


Рис. 1



При нахождении напряженного состояния и радиуса раздела зон упругого и пластического деформирования учитывается влияние силы тяжести. Задача решается в рамках плоскодеформированного состояния.

Уравнения равновесия в декартовой системе координат имеют вид

$$\frac{\partial \sigma_x}{\partial x} + \frac{\partial \tau_{xy}}{\partial y} = 0, \quad \frac{\partial \tau_{xy}}{\partial x} + \frac{\partial \sigma_y}{\partial y} = \gamma, \quad (2)$$

где  $\gamma$  — объемная сила.

Частное решение системы уравнений (2) согласно [1] выберем в виде

$$\sigma_x = qy, \quad \sigma_y = \gamma y, \quad \tau_{xy} = 0, \quad (3)$$

где  $\gamma, q = \text{const}$ .

В полярной системе координат  $(\rho, \theta)$  уравнения равновесия (2) представимы в форме

$$\frac{\partial \sigma_\rho}{\partial \rho} + \frac{1}{\rho} \frac{\partial \tau_{\rho\theta}}{\partial \theta} + \frac{\sigma_\rho - \sigma_\theta}{\rho} = \gamma \sin \theta, \quad \frac{\partial \tau_{\rho\theta}}{\partial \rho} + \frac{1}{\rho} \frac{\partial \sigma_\theta}{\partial \theta} + \frac{2\tau_{\rho\theta}}{\rho} = \gamma \cos \theta, \quad (4)$$

частное решение (3) — в форме

$$\begin{aligned} \sigma_\rho &= \frac{q + 3\gamma}{4} \rho \sin \theta + \frac{q - \gamma}{4} \rho \sin 3\theta, & \sigma_\theta &= \frac{3q + \gamma}{4} \rho \sin \theta - \frac{q - \gamma}{4} \rho \sin 3\theta, \\ \tau_{\rho\theta} &= \frac{\gamma - q}{4} \rho (\cos \theta - \cos 3\theta), \end{aligned} \quad (5)$$

условие пластичности (1) — в форме

$$\left( \frac{\sigma_\rho - \sigma_\theta}{2} - c\varepsilon_\rho^p - \eta \dot{\varepsilon}_\rho^p \right)^2 + \left( \tau_{\rho\theta} - c\varepsilon_{\rho\theta}^p - \eta \dot{\varepsilon}_{\rho\theta}^p \right) = 4k^2. \quad (6)$$

Исследуем случай, когда пластическая зона полностью охватывает внутренний контур трубы. При определении напряженного состояния все функции представляются в виде рядов по степеням малого параметра  $\delta$ , характеризующего отклонение от исходного невозмущенного состояния (от состояния без учета силы тяжести), то есть решение системы (4), (6) ищем в виде [3]:

$$\sigma_{ij} = \sigma_{ij}^{(0)} + \delta \sigma_{ij}^{(1)} + \delta^2 \sigma_{ij}^{(2)} + \dots, \quad \rho_s = \rho_s^{(0)} + \delta \rho_s^{(1)} + \delta^2 \rho_s^{(2)} + \dots, \quad (7)$$

где  $\rho_s$  — радиус раздела зон упругого и пластического деформирования.

Влияние силы тяжести учтем в первом приближении, положив

$$q = \delta c_1, \quad \gamma = \delta c_2, \quad c_1, c_2 = \text{const}. \quad (8)$$

В качестве нулевого приближения выберем решение задачи о нахождении напряженно-деформированного состояния толстостенной цилиндрической трубы находящейся под действием сжимающих нагрузок  $P_0$  и  $P$ , без учета силы тяжести, которое согласно [2] имеет вид

– в пластической зоне при  $(\alpha \leq \rho \leq 1)$

$$\begin{aligned} \sigma_\rho^p &= -P_0 + \frac{4x\mu}{2\mu + c} \left[ \frac{c + 2\mu e^{-\xi t}}{4\mu} \left( \frac{1}{\alpha^2} - \frac{1}{\rho^2} \right) + (1 - e^{-\xi t}) \ln \frac{\rho}{\alpha} \right], \\ \sigma_\theta^p &= -P_0 + \frac{4x\mu}{2\mu + c} \left[ \frac{c + 2\mu e^{-\xi t}}{4\mu} \left( \frac{1}{\alpha^2} + \frac{1}{\rho^2} \right) + (1 - e^{-\xi t}) \left( 1 + \ln \frac{\rho}{\alpha} \right) \right], \\ \tau_{\rho\theta}^p &= 0, \end{aligned} \quad (9)$$

где  $x = \text{sign}(P_0 - P)$ ,  $\xi = \frac{2\mu + c}{\eta}$ .

– в упругой зоне при  $(1 \leq \rho \leq \beta)$

$$\sigma_\rho^e = -P + \frac{x}{\beta^2} \left( 1 - \frac{\beta^2}{\rho^2} \right), \quad \sigma_\theta^e = -P + \frac{x}{\beta^2} \left( 1 + \frac{\beta^2}{\rho^2} \right), \quad \tau_{\rho\theta} = 0. \quad (10)$$

Пластические деформации определяются соотношением

$$\varepsilon_{\theta}^p = -\varepsilon_{\rho}^p = \frac{x(1 - e^{-\xi t})}{2\mu + c} \left( \frac{1}{\rho^2} - 1 \right). \quad (11)$$

На упругопластической границе выполняется следующее соотношение для внешних усилий:

$$\left( \frac{1}{\beta^2} + 1 + |P_0 - P| \right) (2\mu + c) - 2\mu + 4\mu \ln \alpha (1 - e^{-\xi t}) - \frac{(2\mu e^{-\xi t} + c)}{\alpha^2} = 0. \quad (12)$$

В (9)–(12) и далее все величины, имеющие размерность напряжения, будем считать безразмерными, отнесенными к величине предела текучести  $k$ , все линейные размеры будем считать отнесенными к радиусу пластической зоны в исходном нулевом приближении  $\rho_s^0$ , т. е.  $\alpha = \frac{a}{\rho_s^0}$ ,  $\rho = \frac{\rho}{\rho_s^0}$  и  $\beta = \frac{b}{\rho_s^0}$ .

Согласно (4), (6)–(8) для определения первой итерации первого приближения имеет место система уравнений

$$\frac{\partial \sigma_{\rho(1)}^{(1)}}{\partial \rho} + \frac{1}{\rho} \frac{\partial \tau_{\rho\theta(1)}^{(1)}}{\partial \theta} + \frac{\sigma_{\rho(1)}^{(1)} - \sigma_{\theta(1)}^{(1)}}{\rho} = \gamma \sin \theta, \quad \frac{\partial \tau_{\rho\theta(1)}^{(1)}}{\partial \rho} + \frac{1}{\rho} \frac{\partial \sigma_{\theta(1)}^{(1)}}{\partial \theta} + \frac{2\tau_{\rho\theta(1)}^{(1)}}{\rho} = \gamma \cos \theta, \quad (13)$$

$$\sigma_{\rho(1)}^{p(1)} - \sigma_{\theta(1)}^{p(1)} = 2c\varepsilon_{\rho}^{p(0)} + 2\eta\varepsilon_{\rho}^{p(0)}. \quad (14)$$

В (13), (14) и далее нижний индекс в скобках указывает номер итерации, верхний — номер приближения.

Уравнениям равновесия (13) удовлетворим, полагая

$$\begin{aligned} \sigma_{\rho(1)}^{(1)} &= \frac{1}{\rho} \frac{\partial \Psi_{(1)}^{(1)}}{\partial \rho} + \frac{1}{\rho^2} \frac{\partial^2 \Psi_{(1)}^{(1)}}{\partial \theta^2} + \frac{q + 3\gamma}{4} \rho \sin \theta + \frac{q - \gamma}{4} \rho \sin 3\theta, \\ \sigma_{\theta(1)}^{(1)} &= \frac{\partial^2 \Psi_{(1)}^{(1)}}{\partial \rho^2} + \frac{3q + \gamma}{4} \rho \sin \theta - \frac{q - \gamma}{4} \rho \sin 3\theta, \\ \tau_{\rho\theta(1)}^{(1)} &= -\frac{\partial}{\partial \rho} \left( \frac{1}{\rho} \frac{\partial \Psi_{(1)}^{(1)}}{\partial \theta} \right) + \frac{\gamma - q}{4} \rho (\cos \theta - \cos 3\theta), \end{aligned} \quad (15)$$

где  $\Psi_{(1)}^{(1)}$  — функция напряжений Эри, удовлетворяющая уравнению

$$\frac{\partial^2 \Psi_{(1)}^{(1)}}{\partial \rho^2} - \frac{1}{\rho} \frac{\partial \Psi_{(1)}^{(1)}}{\partial \rho} - \frac{1}{\rho^2} \frac{\partial^2 \Psi_{(1)}^{(1)}}{\partial \theta^2} = \sigma_{\rho(1)}^{p(1)} - \sigma_{\theta(1)}^{p(1)}. \quad (16)$$

Уравнение (16) с учетом (11) и (14) примет вид

$$\frac{\partial^2 \Psi_{(1)}^{(1)}}{\partial \rho^2} - \frac{1}{\rho} \frac{\partial \Psi_{(1)}^{(1)}}{\partial \rho} - \frac{1}{\rho^2} \frac{\partial^2 \Psi_{(1)}^{(1)}}{\partial \theta^2} = m_1 \left( \frac{1}{\rho^2} - 1 \right) + \frac{c_2 - c_1}{2} \rho (\sin \theta - \sin 3\theta), \quad (17)$$

где  $m_1 = \frac{2c}{2\mu + c} (1 - e^{-\xi t})$ .

Учитывая решение уравнения (17) определим первую итерацию первого приближения для напряжений в пластической области в форме

$$\begin{aligned} \sigma_{\rho(1)}^{p(1)} &= \frac{m_1}{2} \left( \frac{1}{\alpha^2} - \frac{1}{\rho^2} - 2 \ln \frac{\rho}{\alpha} \right) + c_2 \rho \sin \theta + \frac{C_{11}}{\rho} \sin \theta + \\ &+ \frac{1}{\rho} \left( (-8C_{31} + \sqrt{8}C_{32}) \cos(\sqrt{8} \ln \rho) + (-\sqrt{8}C_{31} - 8C_{32}) \sin(\sqrt{8} \ln \rho) \right) \sin 3\theta, \\ \sigma_{\theta(1)}^{p(1)} &= \frac{m_1}{2} \left( \frac{1}{\alpha^2} + \frac{1}{\rho^2} - 2 - 2 \ln \frac{\rho}{\alpha} \right) + c_2 \rho \sin \theta + \frac{C_{11}}{\rho} \sin \theta + \\ &+ \frac{1}{\rho} \left( (-8C_{31} + \sqrt{8}C_{32}) \cos(\sqrt{8} \ln \rho) + (-\sqrt{8}C_{31} - 8C_{32}) \sin(\sqrt{8} \ln \rho) \right) \sin 3\theta, \\ \tau_{\rho\theta(1)}^{p(1)} &= -\frac{C_{11}}{\rho} \cos \theta - \frac{1}{\rho} \left( 3\sqrt{8} (C_{32} \cos(\sqrt{8} \ln \rho) - C_{31} \sin(\sqrt{8} \ln \rho)) \right), \end{aligned} \quad (18)$$

где  $C_{11}$ ,  $C_{31}$ ,  $C_{32}$  — неизвестные константы интегрирования.



Предположим, что на контуре отверстия при  $\rho = \alpha$  все самоуравновешивающиеся составляющие напряжения обращаются в ноль. Тогда из (18) получим систему для определения коэффициентов  $C_{31}$  и  $C_{32}$ :

$$\begin{cases} C_{31}a_{11} + C_{32}a_{12} = 0, \\ C_{31}a_{21} + C_{32}a_{22} = 0, \end{cases} \quad (19)$$

где  $a_{11} = -8 \cos(\sqrt{8} \ln \rho) - \sqrt{8} \sin(\sqrt{8} \ln \rho)$ ,  $a_{12} = \sqrt{8} \cos(\sqrt{8} \ln \rho) - 8 \sin(\sqrt{8} \ln \rho)$ ,  $a_{21} = 3\sqrt{8} \sin(\sqrt{8} \ln \rho)$ ,  $a_{22} = -3\sqrt{8} \cos(\sqrt{8} \ln \rho)$ .

Откуда находим

$$C_{31} = C_{32} = 0. \quad (20)$$

Составляющие напряжений (18) при  $\sin \theta$  и  $\cos \theta$  являются несамуравновешивающимися и одновременно не могут обращаться в ноль на контуре отверстия.

Предположим, что

$$\sigma_{\rho(1)}^{p(1)} \Big|_{\rho=\alpha} = 0. \quad (21)$$

Тогда из (20) с учетом (18) получим

$$C_{11} = -c_2 \alpha^2. \quad (22)$$

Если же предположить, что

$$\tau_{\rho\theta(1)}^{p(1)} \Big|_{\rho=\alpha} = 0, \quad (23)$$

то

$$C_{11} = 0. \quad (24)$$

Из условия непрерывности компонент напряжения на упругопластической границе при  $\rho = 1$  с учетом (18) имеем

$$\sigma_{\rho(1)}^{e(1)} = b_1'' \sin \theta + a_0'', \quad \tau_{\rho\theta(1)}^{e(1)} = a_1''' \cos \theta, \quad (25)$$

где  $b_1'' = c_2 + C_{11}$ ,  $a_0'' = \frac{m_1}{2} \left( \frac{1}{\alpha^2} - 1 + 2 \ln \alpha \right)$ ,  $a_1''' = -C_{11}$ ,

Граничные условия на внешней стороне трубы при  $\rho = \beta$ , согласно [1] запишем в виде

$$\sigma_{\rho}^{e(1)} = b_1 \sin \theta, \quad \tau_{\rho\theta}^{e(1)} = a_1' \cos \theta, \quad (26)$$

где  $b_1$  и  $a_1'$  — const.

С учетом граничных условий (25), (26) согласно [3] компоненты напряжений в упругой зоне при  $1 \leq \rho \leq \beta$  имеют вид

$$\begin{aligned} \sigma_{\rho(1)}^{e(1)} &= \left[ \frac{\rho}{\beta} b_1 + \frac{(3m+1)\beta}{4m(\beta^2+1)} (b_1 + a_1') \left( \frac{1+\beta^2}{\rho} - \frac{\beta^2}{\rho^3} - \rho \right) + \frac{1}{\beta^4-1} (b_1 - b_1'' \beta) \right] \times \\ &\quad \times \left( \frac{\rho}{\beta} - \frac{\beta^3}{\rho^3} \right) \sin \theta + \frac{1}{\beta^2-1} \left( -a_0'' + a_0'' \frac{\beta^2}{\rho^2} \right) + \frac{c_1 + 3c_2}{4} \rho \sin \theta + \frac{c_1 - c_2}{4} \rho \sin 3\theta, \\ \sigma_{\theta(1)}^{e(1)} &= \left[ 3 \frac{\rho}{\beta} b_1 + \frac{(3m+1)\beta}{(\beta^2+1)} (b_1 + a_1') \left( -\frac{m-1}{3m+1} \frac{1+\beta^2}{\rho} + \frac{\beta^2}{\rho^3} - 3\rho \right) + \frac{1}{\beta^4-1} (b_1 - b_1'' \beta) \right] \times \\ &\quad \times \left( 3 \frac{\rho}{\beta} + \frac{\beta^3}{\rho^3} \right) \sin \theta + \frac{1}{\beta^2-1} \left( -a_0'' - a_0'' \frac{\beta^2}{\rho^2} \right) + \frac{3c_1 + c_2}{4} \rho \sin \theta - \frac{c_1 - c_2}{4} \rho \sin 3\theta, \\ \tau_{\rho\theta(1)}^{e(1)} &= - \left[ \frac{\rho}{\beta} b_1 + \frac{(3m+1)\beta}{4m(\beta^2+1)} (b_1 + a_1') \left( -\frac{m-1}{3m+1} \frac{1+\beta^2}{\rho} - \frac{\beta^2}{\rho^3} - \rho \right) + \right. \\ &\quad \left. + \frac{1}{\beta^4-1} (b_1 - b_1'' \beta) \left( \frac{\rho}{\beta} - \frac{\beta^3}{\rho^3} \right) \right] \cos \theta + \frac{c_2 - c_1}{4} \rho (\cos \theta - \cos 3\theta), \end{aligned} \quad (27)$$

где  $m = \mu^{-1}$ , причем

$$(b_1 + a_1') \beta - (b_1'' + a_1''') \alpha = 0. \quad (28)$$



Из условий сопряжения компонент тензора напряжений [3] следует, что на невозмущенной упругопластической границе имеет место равенство

$$\left[ \sigma_{ij(1)}^{(1)} + \frac{d\sigma_{ij}^{(0)}}{d\rho_{s(1)}^{(0)}} \right] = 0. \quad (29)$$

Откуда, учитывая (9), (10), получим:

$$\rho_{s(1)}^{(1)} = - \left[ \sigma_{\theta(1)}^{(1)} \right] \left[ \frac{d\sigma_{\theta}^{(0)}}{d\rho} \right]^{-1} = - \frac{2\mu + c}{8\mu(1 - e^{-\xi t})} \left[ \sigma_{\theta(1)}^{(1)} \right]. \quad (30)$$

Соотношение для нахождения радиуса упругопластической границы  $\rho_{s(1)}^{(1)}$  в первой итерации первого приближения согласно (30) при учете (18), (19) (22), (27) и (28) определим в виде

$$\rho_{s(1)}^{(1)} = M_0 + M_1 \sin \theta + M_3 \sin 3\theta, \quad (31)$$

где

$$\begin{aligned} M_0 &= - \frac{2\mu + c}{8\mu(1 - e^{-\xi t})} \left[ \frac{1}{\beta^2 - 1} (-a'' - a''\beta^2) - \frac{m_1}{2} \left( \frac{1}{\alpha^2} - 1 + 2 \ln \alpha \right) \right], \\ M_1 &= - \frac{2\mu + c}{8\mu(1 - e^{-\xi t})} \left[ 3 \frac{b_1}{\beta} + \frac{(3m + 1)\beta}{4m(\beta^2 + 1)} (b_1 + a'_1) \left( -\frac{m - 1}{3m + 1} (1 + \beta^2) + \beta^2 - 3 \right) + \frac{1}{\beta^4 - 1} (b_1 - b''_1\beta) \left( \frac{3}{\beta} + \beta^3 \right) \right], \\ M_3 &= - \frac{2\mu + c}{8\mu(1 - e^{-\xi t})} \left[ \frac{c_2 - c_1}{4} \right]. \end{aligned} \quad (32)$$

Таким образом, поле напряжений в толстостенной цилиндрической трубе, находящейся под действием сжимающих нагрузок при учете силы тяжести определено в нулевом и первом приближениях (первая итерация) при  $\alpha \leq \rho \leq 1$  соотношениями (9), (18), (19), (22) (или (24)), а при  $1 \leq \rho \leq \beta$  — соотношениями (10), (27), (28). Радиус раздела зон упругого и пластического деформирования находится по формулам (12), (31).

Результаты численного эксперимента представлены на рис. 2, *а-г*. На этих рисунках показана зависимость радиуса упругопластической границы  $\rho_s$  от угла  $\theta$  в толстостенной трубе, с учетом силы тяжести. При этом значение безразмерных характеристик принимались следующими: внутреннее давление на контуре  $q_0 = 0.9$  и внешнее давление на контуре  $q = 0.2$ ; малый параметр  $\delta = 0.17$ ; модуль сдвига  $\mu = 1$ ; радиус отверстия  $a = 0.6$ ; внешний радиус трубы  $b = 0.9$ .

На рис. 2, *а* замкнутая кривая 1 соответствует контуру отверстия. Замкнутые кривые 2–4 характеризуют положение упругопластической границы  $\rho_s$  в моменты времени  $t = 0.001$ ,  $t = 0.0015$ ,  $t = 1$  соответственно. При этом коэффициент упрочнения  $c = 0.2$ ; коэффициент вязкости —  $\eta = 0.001$ .

На рис. 2, *б* замкнутая кривая 1 соответствует контуру отверстия. Замкнутые кривые 2–4 характеризуют положение упругопластической границы  $\rho_s$  при значениях упрочнения  $c = 0.3$ ,  $c = 0.2$ ,  $c = 0.1$  соответственно. При этом коэффициент вязкости  $\eta = 0.001$ .

На рис. 2, *в* замкнутая кривая 1 соответствует контуру отверстия. Замкнутые кривые 2–4 характеризуют положение упругопластической границы  $\rho_s$  при значениях коэффициентов вязкости  $\eta = 0.002$ ,  $\eta = 0.0015$  и  $\eta = 0.001$  соответственно. При этом коэффициент упрочнения  $c = 0.2$ .

На рис. 2, *г* замкнутая кривая 1 соответствует контуру отверстия. Замкнутые кривые 2–4 характеризуют положение упругопластической границы  $\rho_s$  при значениях  $c_1 = 0.5$ ,  $c_2 = 15$ ;  $c_1 = 0.2$ ,  $c_2 = 5$  и  $c_1 = 0$ ,  $c_2 = 0$  соответственно. Случай  $c_1 = 0$ ,  $c_2 = 0$  соответствует положению упругопластической границы без учета силы тяжести. При этом коэффициент упрочнения  $c = 0.2$ , коэффициент вязкости  $\eta = 0.001$ .

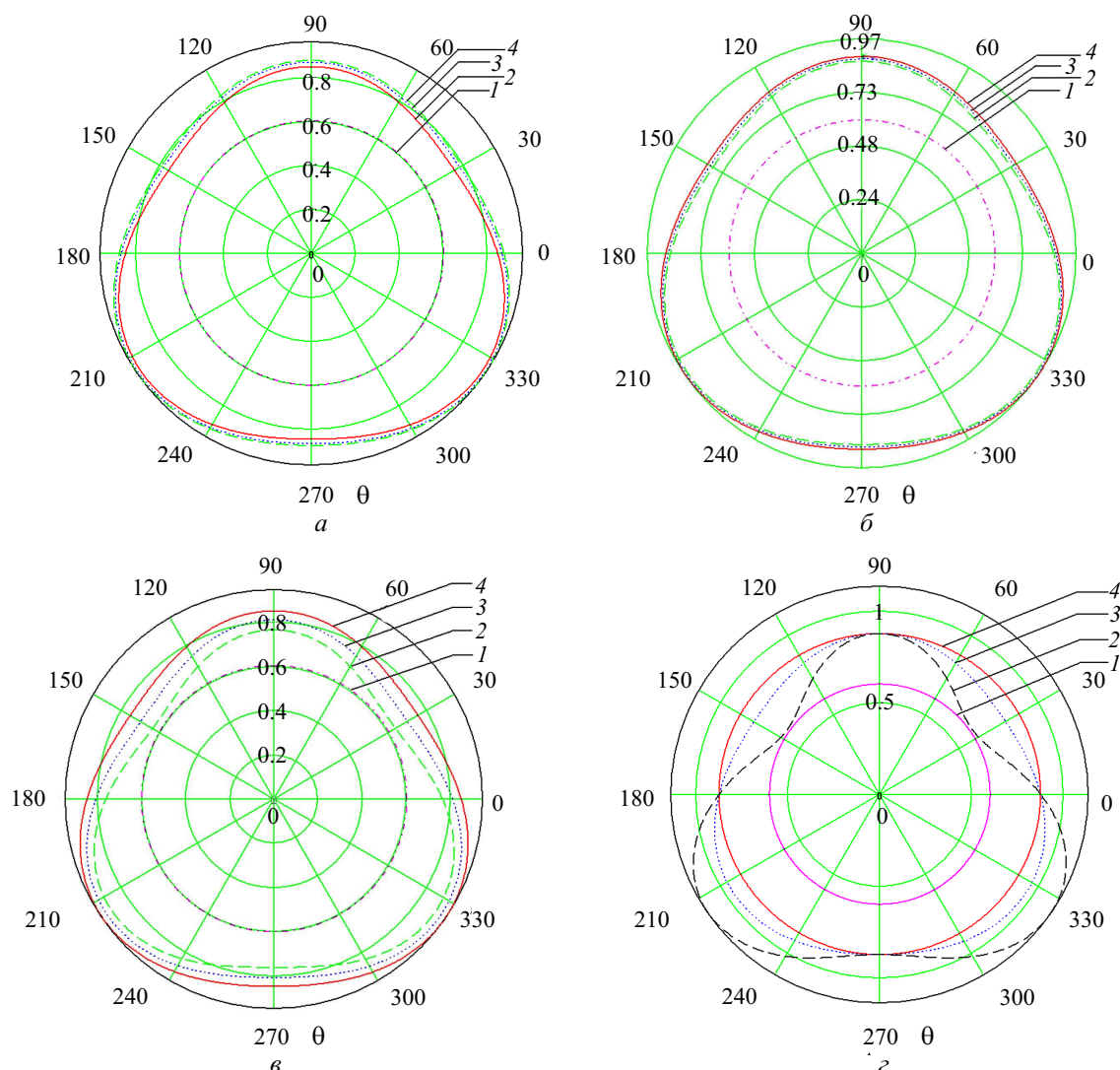


Рис. 2

Из анализа результатов численного эксперимента следует, что учет силы тяжести влияет на форму и размер упругопластической зоны (см. рис. 2, а–г), при этом отмечены следующие закономерности:

- с ростом времени упругопластическая граница увеличивается до определенного значения, которое соответствует упрочняющейся упругопластической среде (рис. 2, а) (имеет место ограниченная ползучесть);

- при увеличении коэффициента упрочнения с пластическая область сужается;

- с ростом коэффициента вязкости  $\eta$  пластическая зона уменьшается, в этом смысле можно говорить о стабилизирующей роли вязкости.

Таким образом, получено первое приближение (в одной итерации), поставленной задачи о напряженном состоянии толстостенных труб из упруговязкопластического материала, при учёте силы тяжести. Очевидно, что полагая в приведенных выше соотношениях  $c = 0$ ,  $\eta = 0$  и  $t \rightarrow \infty$ , приходим к результатам работы С.В. Матвеева [1], соответствующим идеально пластическому материалу. Если положить  $c_1 = 0$  и  $c_2 = 0$ , то приходим к известным решениям А.Н. Спорыхина [2].

### Библиографический список

1. Матвеев С.В. Упругопластическое состояние среды, ослабленной горизонтальной цилиндрической полостью, с учетом силы тяжести // Вестн. Самар. гос. ун-та. Естественнауч. сер. 2007. № 2(52). С. 107–114.
2. Спорыхин А. Н., Шашкин А. И. Устойчивость равновесия пространственных тел и задачи механики горных пород. М.: Физматлит, 2004. 232 с.
3. Ивлев Д. Д., Еришов Л. В. Метод возмущений в теории упругопластического тела. М.: Наука, 1978. 208 с.